

بسمه تعالی



دانشگاه صنعتی شریف
دانشکده مهندسی عمران

عنوان

تمرین هفتم هیدرولوژی پیشرفته

نگارنده

یسنا یگانه

۴۰۰۲۰۸۷۳۳

استاد راهنما

دکتر محمد دانش یزدی

فهرست مطالب

فهرست مطالب	ب.....
فهرست شکل ها	ب.....
فهرست جدول ها	ج.....
۱ هیدروگراف واحد حوضه	۱.....
۲ تابع توزیع احتمال سفر با فرض ثابت بودن نسبت به زمان	۳.....
۳ تابع توزیع زمان اقامت با فرض یکنواخت بودن تابع انتخاب سن ($\omega = 1$)	۶.....
۴ مقایسه نتایج	۸.....
۵ شبیه سازی غلظت کلرید با استفاده از هیدروگراف واحد حوضه	۹.....

فهرست نمودارها

نمودار ۱: هیدروگراف واحد	۲.....
نمودار ۲: توابع توزیع سفر (ثابت نسبت به زمان t)	۴.....
نمودار ۳: غلظت کلرید خروجی پیش بینی شده با استفاده از تابع توزیع زمان سفر نرمال	۴.....
نمودار ۴: غلظت کلرید خروجی پیش بینی شده با استفاده از تابع توزیع زمان سفر نمایی	۵.....
نمودار ۵: غلظت کلرید خروجی پیش بینی شده با استفاده از تابع توزیع زمان سفر گاما	۵.....
نمودار ۶: تابع توزیع زمان اقامت در زمان خشک t_1	۷.....
نمودار ۷: تابع توزیع زمان اقامت در زمان بینایی t_2	۷.....
نمودار ۸: تابع توزیع زمان اقامت در زمان تر t_3	۸.....
نمودار ۹: سری زمانی غلظت خروجی پیش بینی شده با استفاده از هیدروگراف واحد	۹.....

فهرست جدول‌ها

- جدول ۱: دبی لبریز ایستگاه‌های زیرحوضه مند **Error! Bookmark not defined.**
- جدول ۲: اطلاعات ایستگاه‌های زیر حوضه مند **Error! Bookmark not defined.**
- جدول ۳: عرض و دبی لبریز هر ایستگاه **Error! Bookmark not defined.**
- جدول ۴: دبی و عرض ایستگاه‌ها (بدون در نظر گیری علی آباد) **Error! Bookmark not defined.**

۱ هیدروگراف واحد حوضه

برای محاسبه‌ی هیدروگراف واحد حوضه تحت بارش مرکب از تابع discrete pulse response می‌کنیم که معادله آن به صورت زیر است:

$$Q_n = \sum_{m=1}^k P_m \times U_{N-M+1} ; \begin{cases} n = 1, 2, 3, \dots, N - M + 1 \\ k = n \text{ if } n \leq M \\ k = M \text{ if } n > M \end{cases} \quad (1)$$

که در آن پارامتر M تعداد پالس بارش رخ داده در بازه‌های زمانی ثابت (در این تمرین ۷ ساعته) و N تعداد پالس رواناب تولید شده طی پالس‌های بارشی می‌باشد. با استفاده از de-convolution و محاسباتی ماتریسی می‌توان به مقادیر مجهول هیدروگراف واحد دست یافت [1]. با جایگذاری پارامترهای متناظر یک مساله در معادله ۱، مقادیر رواناب مستقیم جریان یافته در هر بازه زمانی به صورت جدول زیر خواهد بود:

جدول ۱: جدول محاسبه مقادیر رواناب جاری شده تحت بارش مرکب در هر بازه زمانی

$Q_1 =$	$P_1 U_1$							
$Q_2 =$	$P_2 U_1 +$	$P_1 U_2$						
$Q_3 =$	$P_3 U_1 +$	$P_1 U_2 +$	$P_1 U_3$					
.....								
$Q_M =$	$P_M U_1 +$	$P_{M-1} U_2 +$	$..... +$	$P_1 U_M$				
$Q_{M+1} =$	$0 +$	$P_M U_2$	$..... +$	$P_2 U_M +$	$P_1 U_{M+1}$			
.....								
$Q_{N-1} =$	$0 +$	$0 +$	$..... +$	$0 +$	$0 +$	$..... +$	$P_M U_{N-M+1}$	$P_{M-1} U_{N-M+1}$
$Q_N =$	$0 +$	$0 +$	$..... +$	$0 +$	$0 +$	$..... +$	0	$P_M U_{N-M+1}$

معادله ۱ را برای سادگی محاسبات می‌توان به فرم ماتریسی زیر نوشت:

$$[Q]^{N \times 1} = [P]^{N \times (N-M+1)} \cdot [U]^{(N-M+1) \times 1} \quad (2)$$

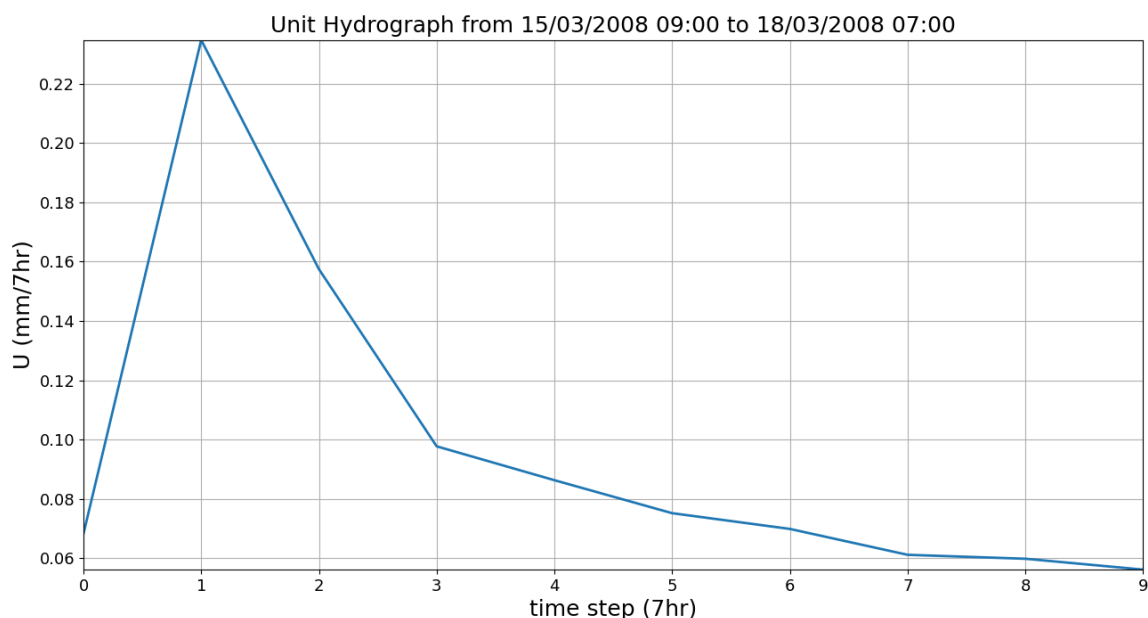
ماتریس‌های بارش، رواناب و مجهولات هیدروگراف واحد به صورت زیر می‌باشند:

$$\begin{bmatrix}
 P_1 & 0 & 0 & \dots & 0 & 0 & \dots & 0 & 0 \\
 P_2 & P_1 & 0 & \dots & 0 & 0 & \dots & 0 & 0 \\
 P_3 & P_2 & P_1 & \dots & 0 & 0 & \dots & 0 & 0 \\
 \vdots & \vdots & \vdots & \ddots & \vdots & \vdots & \ddots & \vdots & \vdots \\
 P_M & P_{M-1} & P_{M-2} & \dots & P_1 & 0 & \dots & 0 & 0 \\
 0 & P_M & P_{M-1} & \dots & P_2 & P_1 & \dots & 0 & 0 \\
 \vdots & \vdots & \vdots & \ddots & \vdots & \vdots & \ddots & \vdots & \vdots \\
 0 & 0 & 0 & \dots & 0 & 0 & \dots & P_M & P_{M-1} \\
 0 & 0 & 0 & \dots & 0 & 0 & \dots & 0 & P_M
 \end{bmatrix} \cdot \begin{bmatrix} U_1 \\ U_2 \\ U_3 \\ \vdots \\ U_{N-M+1} \end{bmatrix} = \begin{bmatrix} Q_1 \\ Q_2 \\ Q_3 \\ \vdots \\ Q_M \\ Q_{M+1} \\ \vdots \\ Q_{N-1} \\ Q_N \end{bmatrix} \quad (7.6.1)$$

پس از تشکیل ماتریس های بارش و ماتریس رواناب و جایگذاری آن ها در معادله ۲، دستگاه معادلات بالا را حل می کنیم. نکته قابل توجه این است که تعداد معادلات (N) از تعداد مجهولات مساله (N-M+1) بیشتر می باشد و ماتریس بارش نیز ماتریسی مستطیلی است. برای حل معادله ۲ دو طرف را در ترنسپوز ماتریس بارش ضرب کرده و طبق معادله سه می توان مجهولات U را محاسبه کرد. گرچه در این روش به دلیل امکان وجود گپ در پالس های بارش ورودی ممکن است مقادیر U منفی محاسبه کند که برای جلوگیری از این موضوع در الگوریتم استفاده شده برای رسیدن به هیدروگراف واحد شرطی قرار داده شد تا در هر مرحله و با حل هر یک از معادلات مشابه جدول ۱، چنانچه مقدار مجهول U منفی محاسبه شد برابر صفر قرار داده شود.

$$[U] = ([P]^T [U])^{-1} [P]^T [Q] \quad (3)$$

در نهایت با استفاده از کد Q1 - sotooni-sample.py و انتخاب داده های بارش و دبی بازه زمانی ۲۰۰۸/۰۳/۱۵ الی ۲۰۰۸/۰۳/۱۸، هیدروگراف واحد به صورت زیر محاسبه شد:



نمودار ۱: هیدروگراف واحد

۲ تابع توزیع احتمال سفر با فرض ثابت بودن نسبت به زمان

در این بخش تابع توزیع زمان سفر را نسبت به زمان ثابت فرض کرده و فرم تابع آن را به صورت نرمال، نمایی و گاما در نظر می گیریم. می دانیم که طبق معادله ۴، با داشتن تابع توزیع زمان سفر (ثابت نسبت به زمان) و مقادیر غلظت ورودی (توسط بارش) کلرید می توان مقادیر غلظت کلرید خروجی را محاسبه نمود:

$$\delta_{out}(t) = \int_0^{\infty} TTD(\tau) \times \delta_{in}(t - \tau) d\tau \quad (4)$$

با استفاده از کدهای Q2-whole_expo_calibration.py، Q2-whole_gama_calibration.py و Q2-whole_normal_calibration.py ابتدا توابع توزیع زمان سفر با در نظرگیری پارامترست های مختلف برای هر تابع، مطابق نمودار ۲ تشکیل شد. در واقع ابتدا برای پارامترهای هر تابع بازه ای مشخص شد و توابع توزیع به ازای مقادیر مختلف پارامترست تشکیل گردید. سپس با استفاده از معادله ۴ و داشتن غلظت های ورودی کلرید، غلظت خروجی کلرید محاسبه شد و با استفاده از متریک R^2 مقادیر غلظت محاسبه شده برای هر پارامترست سنجیده شد و پارامترست با بیشترین مقدار R^2 برای ترسیم و محاسبه بهترین غلظت انتخاب شد.

- برای پارامترهای توزیع نرمال (μ, σ) که معادله آن مطابق معادله زیر می باشد بهترین پارامترست در بازه ۲۰ تا ۷۰ برای هر دو پارامتر برابر $(70 و 70)$ و $R^2=0.03156$ محاسبه شد. لازم به ذکر است به دلیل وجود گپ داده در غلظت های ورودی و خروجی، مقادیر صفر برای آن ها اتخاذ شد که این مساله خطای بزرگی را در این مساله ایجاد کرده است. لذا مقادیر متریک بیان شده قابل قبول نیستند اما بین بازه ی پارامتر انتخاب شده بهترین مقدار را دارند. بنابراین برای محاسبات دقیق تر باید گپ داده ها را با استفاده از روش های درونیایی رفع نمود تا بتوان پیش بینی بهترین از غلظت خروجی انجام داد.

$$f(x) = \frac{1}{\sigma\sqrt{2\pi}} e^{-\frac{1}{2}\left(\frac{x-\mu}{\sigma}\right)^2}$$

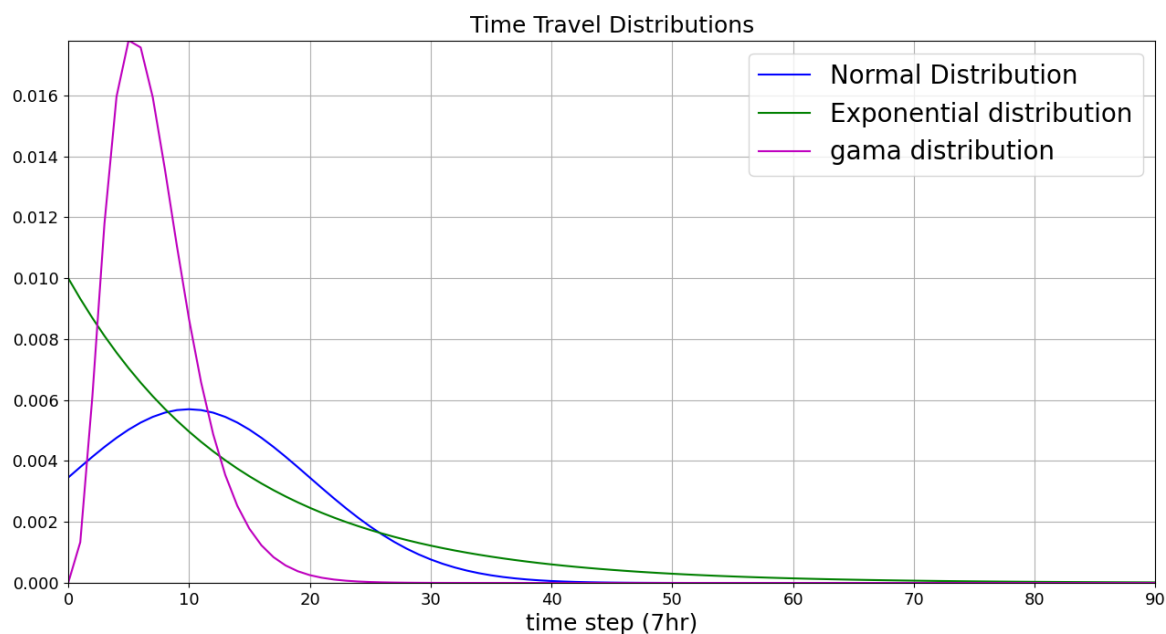
- برای توزیع نمایی که معادله آن به صورت زیر است، بازه ی پارامتر λ از ۰.۰۱ تا ۱ و با گام ۰.۰۱ انتخاب شد و بهترین مقدار پارامتر پس از کالیبراسیون برابر $\lambda = 0.01$ و $R^2=0.0377$ محاسبه شد.

$$f(x; \lambda) = \begin{cases} \lambda e^{-\lambda x} & x \geq 0, \\ 0 & x < 0. \end{cases}$$

- در توزیع گاما که معادله آن به صورت زیر است، برای پارامترهای $(\alpha و \beta)$ بهترین پارامترست در بازه ی ۳ تا ۵ برای α و ۰.۰۷ تا ۰.۱ با گام ۰.۰۱ برای β برابر $(0.07 و 3)$ و $R^2=0.02252$ محاسبه شد.

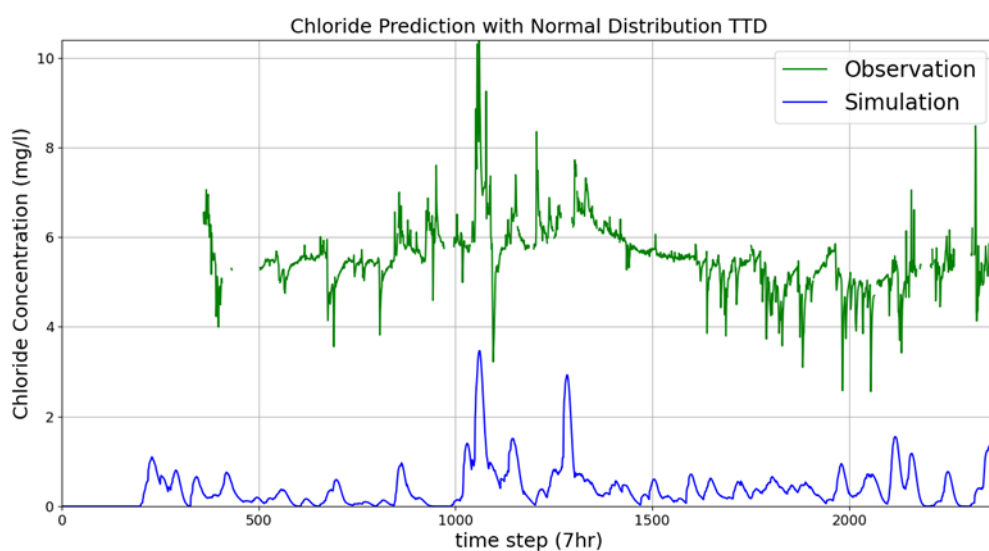
$$f(x; \alpha, \beta) = \frac{x^{\alpha-1} e^{-\beta x} \beta^{\alpha}}{\Gamma(\alpha)} \quad \text{for } x > 0 \quad \alpha, \beta > 0,$$

برای محاسبات دقیق تر لازم است تا بازه‌های بزرگتری برای کالیبراسیون انتخاب شود و از روش‌های کالیبراسیون پیشرفته تر مثل Particle Swarm Optimization، big bang big crunch و ... استفاده شود. نمودار توابع توزیع با استفاده از بهترین مقادیر پارامتر شناسایی شده به صورت زیر می‌باشند:

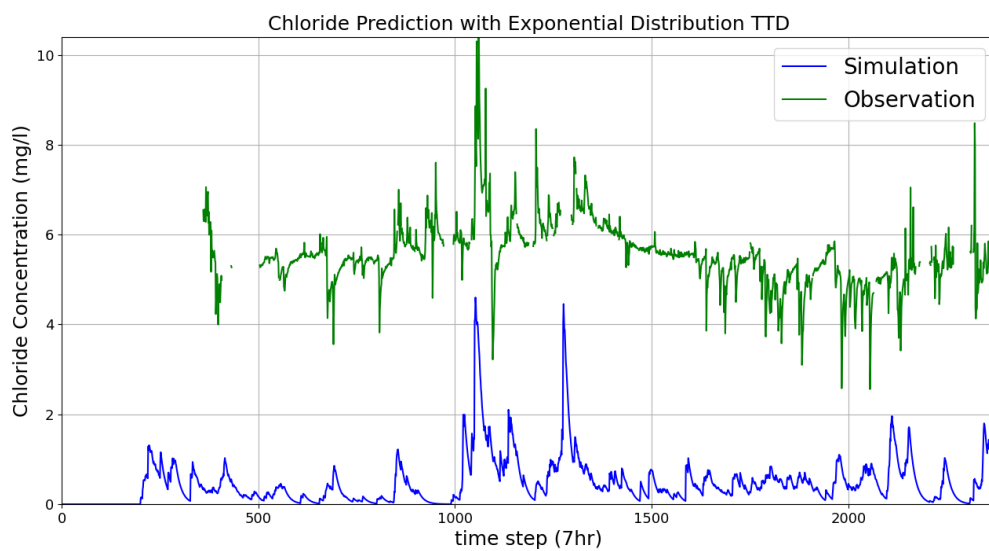


نمودار ۲: توابع توزیع سفر (ثابت نسبت به زمان t)

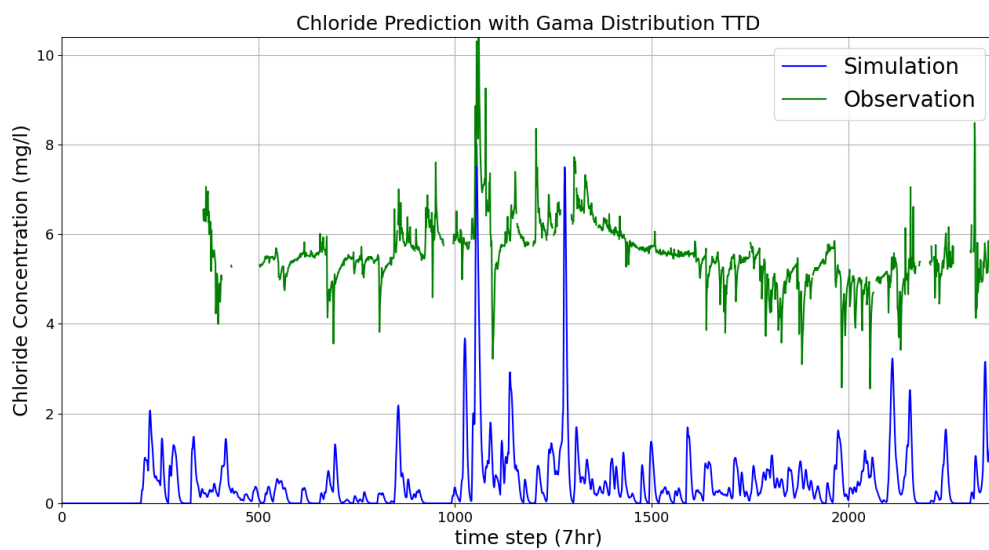
همچنین سری زمانی غلظت پیش بینی شده با استفاده از هر کدام مطابق شکل‌های زیر است:



نمودار ۳: غلظت کلرید خروجی پیش بینی شده با استفاده از تابع توزیع زمان سفر نرمال



نمودار ۴: غلظت کلرید خروجی پیش بینی شده با استفاده از تابع توزیع زمان سفر نمایی



نمودار ۵: غلظت کلرید خروجی پیش بینی شده با استفاده از تابع توزیع زمان سفر گاما

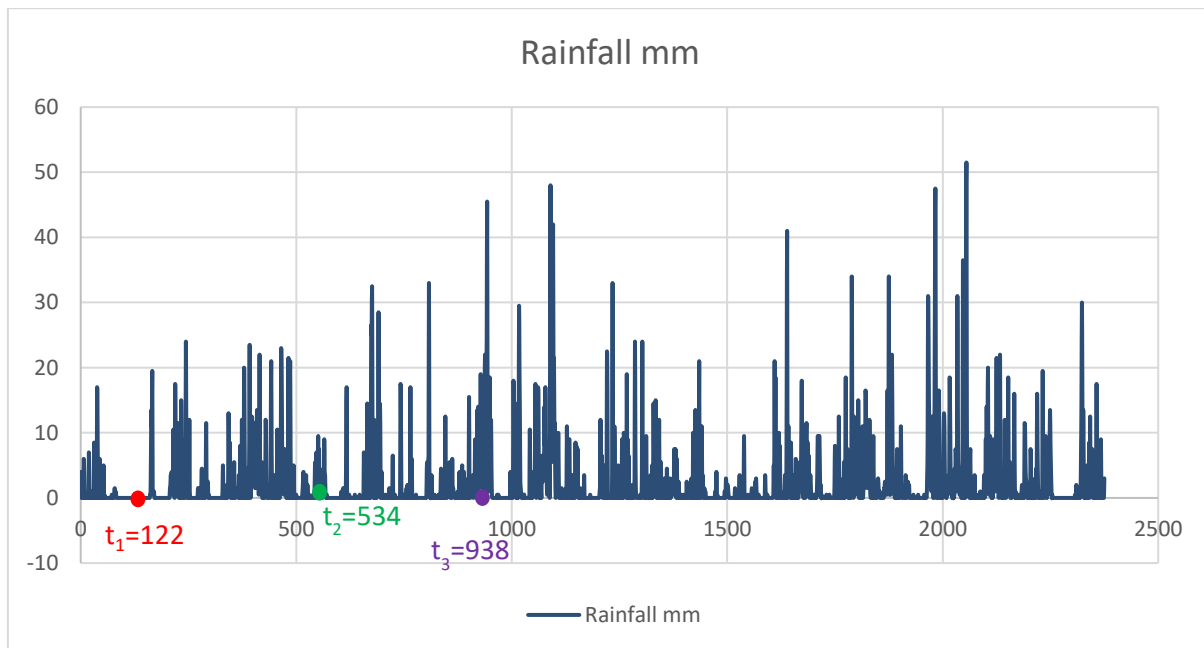
۳ تابع توزیع زمان اقامت با فرض یکنواخت بودن تابع انتخاب سن ($\omega = 1$)

سه زمان $t=122$ به عنوان حالت خشک، $t=534$ به عنوان حالت بینابینی و $t=938$ به عنوان حالت تر انتخاب شدند. البته دقت شود مقادیر ذکر شده در واقع تعداد ۷ ساعت سپری شده هستند و برای به دست آوردن زمان واقعی بر

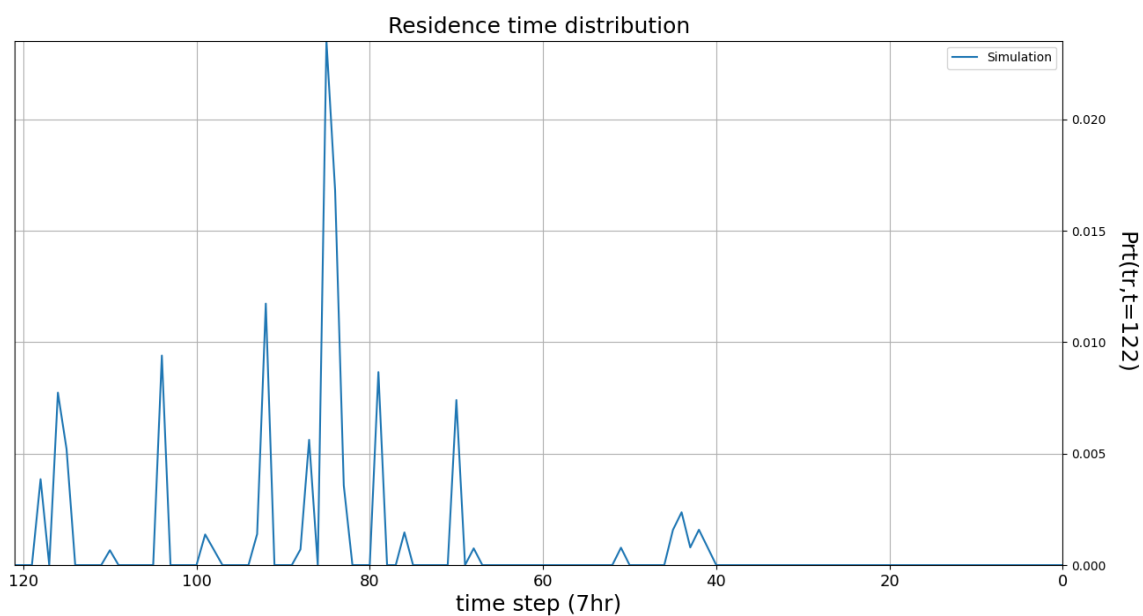
حسب ساعت باید در ۷ ضرب شوند. معادله‌ی محاسبه‌ی تابع توزیع زمان اقامت به صورت زیر است:

$$p_{RT}(t_R, t) = \frac{J(t - t_R)}{S(t - t_R)} \exp \left\{ - \int_{t-t_R}^t \frac{J(x)}{S(x)} dx \right\} \cdot \exp \left\{ \int_{t-t_R}^t \frac{ET(x)[1 - \omega_{ET}(t_R - t + x, x)]}{S(x)} dx \right\} \cdot \exp \left\{ \int_{t-t_R}^t \frac{Q(x)[1 - \omega_Q(t_R - t + x, x)]}{S(x)} dx \right\}$$

در این مساله برای محاسبه میزان حجم ذخیر در هر بازه زمانی، مقدار حجم ذخیره ابتدایی ۷۰۰ میلی متر در سطح حوضه در نظر گرفته شد و همچنین مقدار تبخیر و تعرق در معادله بیلان محاسبه‌ی حجم ذخیره ۰ در نظر گرفته شد. از طرفی با در نظر گیری $\omega = 1$ ترم دوم و سوم معادله بالا حذف شده و تنها ترم اول وارد محاسبات می‌شود. با استفاده از کد Q3.py و در نظر گیری معادله زیر، تابع توزیع زمان اقامت محاسبه گردید و نمودارهای متناظر با سه زمان انتخابی رسم گردید که مطابق شکل‌های زیر می‌باشند:

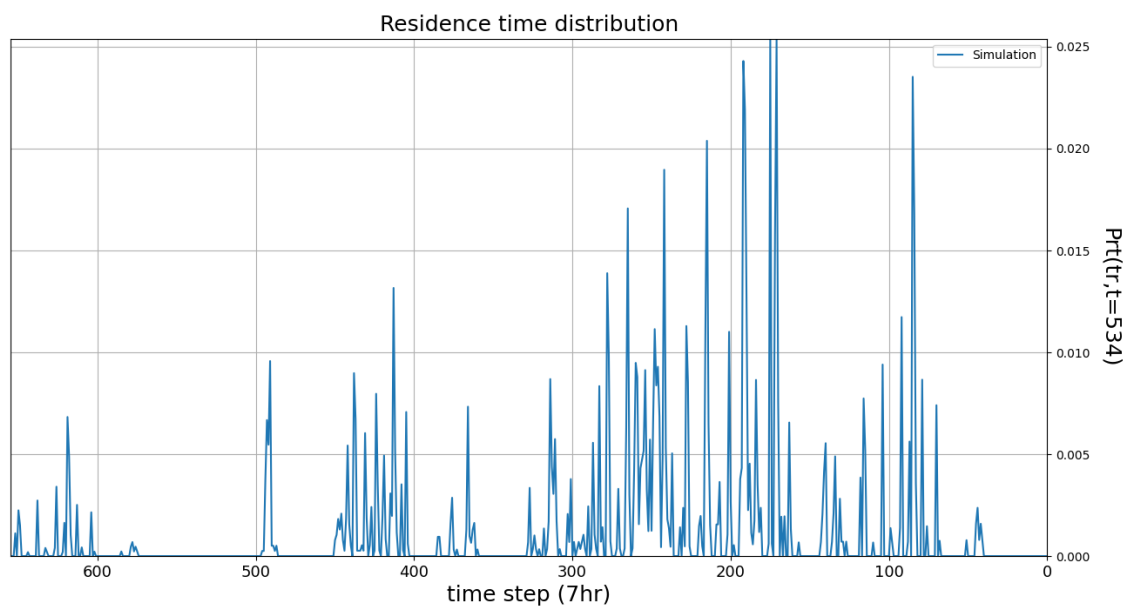


$t_1=122$



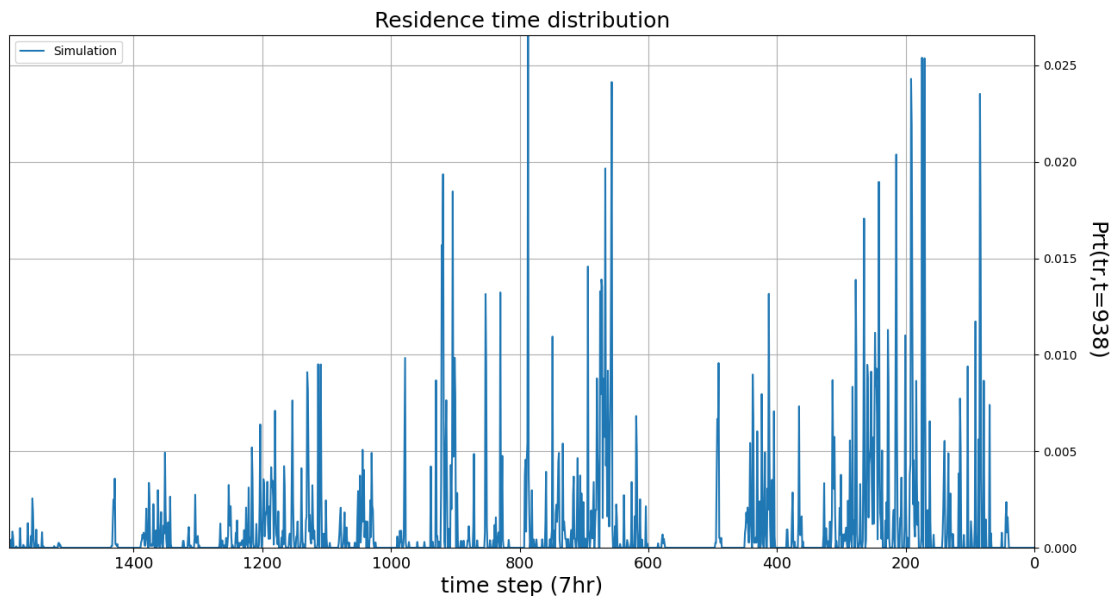
نمودار ۶: تابع توزیع زمان اقامت در زمان خشک t_1

$t_2=534$



نمودار ۷: تابع توزیع زمان اقامت در زمان بینابینی t_2

$t_3=938$



نمودار ۸: تابع توزیع زمان اقامت در زمان t_3

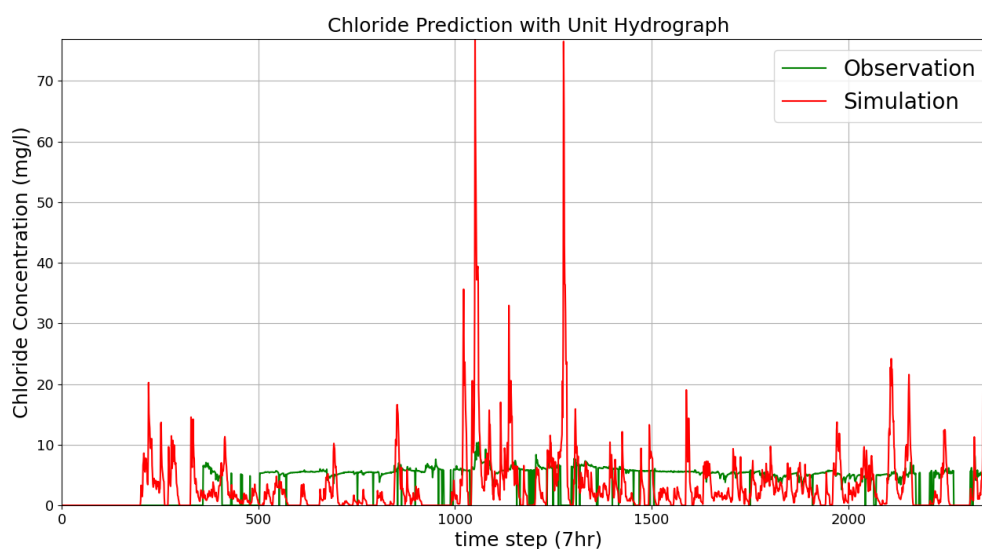
با بررسی نمودار ۶ برای حالت خشک می‌توان نتیجه‌گیری کرد که با توجه به اینکه بیشترین مقادیر این تابع به ازای زمان‌های اقامت بالاتر رخ داده است به این معناست که در این شرایط و زمان با میزان بارش موجود، تمایل حوضه بیشتر به خارج کردن ذرات قدیمی آب می‌باشد این مساله برای دو زمان دیگر یعنی حالت بینابینی و تر صدق نمیکند و برعکس می‌باشد، به عبارتی در این دو زمان با بارش موجود تمایل حوضه به خارج کردن ذرات با زمان‌های اقامت کوچکتر از زمان سفر و نزدیکتر به صفر یعنی ذرات جوان تر می‌باشد.

۴ مقایسه نتایج

با مقایسه‌ی نتایج پیش‌بینی غلظت بخش دوم (پس از کالیبراسیون هر سه تابع توزیع) هر سه تابع نرمال، نمایی و گاما مشاهده می‌شود که متریک R^2 برای حالتی که تابع توزیع زمان سفر نمایی فرض شده بهترین و بیشترین مقدار را دارد و در نتیجه پیش‌بینی بهتری نسبت به دو تابع دیگر داشته است. از طرفی از دلایل خطای بالای محاسبات و مشاهدات علاوه بر صفر فرض کردن گپ داده‌ها، ثابت فرض کردن تابع توزیع زمان سفر است چرا که می‌دانیم این تابع نسبت به زمان ثابت نبوده و با گذر زمان همواره در حال تغییر می‌باشد. در قسمت سوم با محاسبه‌ی توابع توزیع زمان اقامت مشاهده می‌کنیم که این تابع تعداد پیک‌های متفاوتی در زمان‌های مختلف داشته و به ازای زمان‌های T مختلف تابع متفاوتی را نمایش می‌دهد، این موضوع درواقع بیانگر همین مساله است که با گذر زمان، تابع توزیع زمان سفر متفاوت بوده و لذا تابع توزیع زمان اقامت نیز متفاوت است.

۵ شبیه سازی غلظت کلرید با استفاده از هیدروگراف واحد حوضه

با استفاده از هیدروگراف واحد محاسبه شده در قسمت اول و استفاده از convolution، سری زمانی غلظت خروجی حوضه با استفاده از کد Q5.py محاسبه و مطابق شکل زیر رسم گردید:



نمودار ۹: سری زمانی غلظت خروجی پیش بینی شده با استفاده از هیدروگراف واحد

مراجع:

[1] “Applied_Hydrology_Chow_1988.pdf.”